

陶瓷电容器的制作

洪 镜 著

人國電出版社

一九五九年六月貳書

內容提要

本書是一本系統地敘述陶瓷電容器製造的書籍。其中首先介紹了一般電容器的性能和陶瓷電容器的特點，其次敘述陶瓷材料和陶瓷做介質的電容器的種類和性能。然後詳細地逐步敘述了陶瓷電容器的生產過程和製造用的設備。最後介紹了我國生產的各種陶瓷電容器的結構和性能規格。

陶瓷電容器的製造

編著者：洪鐘

出版者：人民郵電出版社

北京東四6號13層

(北京市書刊出版業營業登記證出字第0488號)

印刷者：北京市印刷一廠

發行者：新华書店

开本787×1092 1/32

1959年6月北京第一版

印数 5 8/32 頁數 84

1959年6月北京第一次印刷

印刷字數 121,000 字

印費 1—6,700 元

統一書號：15045·總1019-無266

定價：(9) 0.54 元

緒 言

由于近代無線電事業的迅速發展，人們越來越對短波與超短波發生了興趣，這是因为它能令人滿意地完成通信任務；但是對於使用這兩波段的無線電機的性能也提出了高度的要求。實質上也就是對於組成這些無線電機的各無線電元件的性能有高度的要求。例如要求各項元件具有很好的耐熱、抗潮性能，以及能在不同的環境下保持穩定地工作，和在高頻工作時產生的損耗極小等等。只有在以上這些要求得到充分滿足以後，短波與超短波的通信才有可能很好地完成。我們大家都知道，無線電機性能的好壞在很大程度上決定於無線電零件的性能。可以這樣說：如果無線電零件本身性能不夠理想的話，那麼用它裝備起來的無線電機，其性能也不可能令人滿意。

陶瓷電容器是一種無線電零件，在無線電機上使用它可以得到很好的效果。這是因為陶瓷電容器具有很多獨特的優越性。利用陶瓷做介質製造電容器，不但能做成很多不同介質常數和溫度系數的電容器；而且做成的電容器具有很高的電容量穩定度、很高的耐熱性，以及極小的損耗。在目前的高頻與超高頻領域內，能很好地代替陶瓷電容器的零件還是很少很少的。

做陶瓷電容器的介質用的陶瓷，它的應用在我國已有很悠久的歷史了。早在幾千年前，人們已在日常生活中運用了它。過去無非是用它來做些盆、碗、罐子等日常生活用品；把陶瓷用作為電容器的介質在我國還是近几年的事。雖然只有短短的几年，但由於我們偉大的黨的領導和蘇聯科學家對我們的無私援助，以及我國陶瓷專家和工人的不倦努力，幾年來，陶瓷工業已經有了飛速的發展。在無線電工業上，試制出了很多不同的

瓷料配方，来制造各种无线电零件。除了用它来制造电容器以外，我们还可运用它来制造电子管管座、波段开关片、高频绝缘子、电阻器、电感线圈等各种电气陶瓷零件。在我国无线电科学技术领域内，由于大量应用陶瓷，使得我国无线电事业有了新的进展。

正由于这样，无线电陶瓷的发展是令人乐观的。我们今后还要进一步发展强性介质材料，研究它们的高介电常数（介电常数可高达 10000）、压电性，以及非直线性；并进而利用它们来制造体积微小而性能良好的电容器、变压器与介质放大器等，使无线电元件向“小型化”与“超小型化”方向迈进一步。

陶瓷电容器实质上是一个以陶瓷为基体，表面被复银层，并在银层上焊接引出线（片）而制成的。陶瓷基体本身是由各种不同的原料按照不同的配方配好后，经过成型与高温烧结而得到的。经过高温烧结后的陶瓷，不但有着很高的机械强度，而且它也具备了各种化学性能与电性能。制造成功后的电容器的电性能，在很大的程度上是决定于做介质用的陶瓷本身的电性能，如果陶瓷介质本身的电性能不好，那么用它做成的电容器也不可能合格的。

目 录

緒言

第一章 电容器和它的电参数 1

第一节 电容器概述 1

第二节 电容器的电性能 6

第三节 电容器的应用 17

第二章 無線电陶瓷的分类和陶瓷电容器的特性 19

第一节 無線电陶瓷的分类 19

第二节 陶瓷电容器的特性 29

第三章 陶瓷电容器的电介质制造 42

第一节 原料(成型料)的制备 43

第二节 成型 60

第三节 烧成 69

第四章 陶瓷电容器的装配 79

第一节 陶瓷电容器导电极的制造 79

第二节 陶瓷电容器电极引出线(片)的装配 97

第三节 陶瓷电容器的防潮保护装置 106

第五章 陶瓷电容器的类型 118

第一节 高频电容器 118

第二节 铁电陶瓷电容器 150

第一章 电容器和它的电参数

第一节 电容器概述

所謂“电容器”，就是由中間有介質隔开的兩個导电体所組成的器件。換句話說，任何兩個导电体，当其中間被介質隔开，那么它就組成了一个电容器。介質部分可用任何絕緣体充担，介質兩旁的导电体是电容器的電極部分。

當我們在桌子上平行地豎放了兩塊互相对着而隔开一定距离的任何金屬板，或是在一塊木板的上下兩面夾上兩塊鐵板，或是把一張紙的兩面用兩塊导电片夾住，都能組成一个电容器。第一种电容器是利用“空气”做介質来將导电体隔开；第二种則是利用“木板”做介質；第三种电容器的介質是由“紙”担任。这样看来，我們把它們都称之为“电容器”还是有道理的。因为它们都符合电容器的定义。但是在实际应用中的电容器还需要符合很多严格的要求，所以，并不是符合上述定义的电容器在实际中都能得以运用。

我們可以从很多方面把电容器分成不同的类型：

1.按电介質性質來分，可分为：

甲、气体介質电容器——主要有空气电容器、真空电容器和充气电容器等。

乙、液体介質电容器——主要有充油电容器、充化学綜合液体的电容器等。

丙、固体無机介質电容器——主要有陶瓷电容器、云母电容器、石英电容器、玻璃电容器、玻璃瓷漆电容器、硫質电容

器等。

丁、固体有机介质电容器——主要有纸质电容器和有机胶质电容器等。

戊、电解电容器——主要有有极性电解电容器和无极性电解电容器等。

2. 按使用频率来分，可分为：

甲、用于直流或脉动电流电路的电容器；

乙、用于50赫工业频率的电容器；

丙、用于100~10,000赫音频的电容器；

丁、用于0.1~100兆赫无线电频率的电容器；

戊、用于脉冲频率的电容器。

3. 按工作电压分，可分为：

甲、高压电容器——工作电压大于1000伏；

乙、低压电容器——工作电压小于1000伏。

4. 按功率分，可分为：

甲、高功率电容器：（无功功率大于4千伏安）

乙、低功率电容器：（无功功率小于4千伏安）

当电容器接在线路里时，常用下列的线路符号来表示。

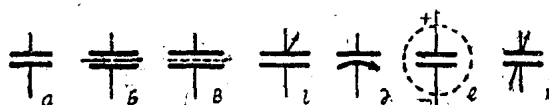


圖 1 电容器的代表符号

a—固定电容器；b—无机介质固定电容器；

c—有机介质固定电容器；d—半可变电容器；e—半可变电容器；

f—电解电容器；g—可变电容器。

现在我们就来谈一谈电容器是如何工作的。

当把电容器两端接上一电源 E_a 后，发现电容器的两极片上积聚有数量相等、极性相反的正负电荷。与电源正极相接的

極片上积聚的是正电荷，与负端相接的则是负电荷（圖 2）。

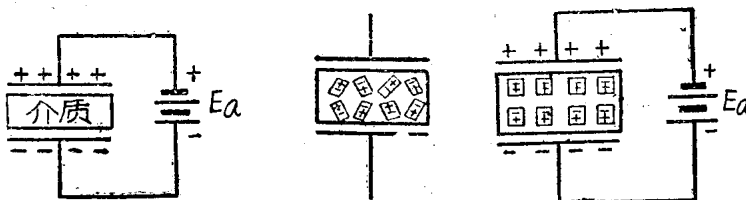


圖 2 电容器工作时
的电荷分佈

圖 3 常态下介質內分
子排列的情况

圖 4 加电压后介質內
分子的排列

我們知道，当电容器兩端未加上电压以前，电容器介質內的分子排列是杂乱無章的（圖 3）。此时由于分子与分子之間極性的互相抵消作用，使总的介質不显極性。但是，当电容器兩端施加电压 E_a 后，在电極上就瞬时出現了电荷，也就是說介質兩端造成一电場。由于該电場的作用，使原来介質內呈杂乱排列状态的分子按造电場的方向有規則的排列起来（圖 4）。因而介質显示了極性。介質的極性恰好与介質兩端电極上的極性相反。正由于这样，已显極性的介質的分子將通过靜电吸引力，而把电容器兩極片上的电荷牢牢吸引住。結果一个極片上积有正电荷，另一極片上积有负电荷。这就是为什么电容器在加电压后能蓄积电荷的全部道理。这种在加电源后电容器極片上有电荷出現的現象一般我們称作“充电”。如果这时我們把电源拿开，并用一导線把兩电極直接連接起来，發現極片上的电荷立即消失，这种現象称之为“放电”。

充电的过程我們可用圖 5 来表示。

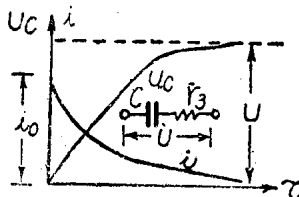


圖 5 無电感电路电容器的充
电过程

$$i = i_0 e^{-\frac{\tau}{r_s \cdot C}} \quad (1) \quad U_c = U(1 - e^{-\frac{\tau}{r_s \cdot C}}) \quad (2)$$

τ ——时间，秒； e ——自然对数的底；

i_0 ——充电电流的最初值，安； i ——充电电流，安；

U_c ——电容器两端电压，伏； C ——充电电路的电容量，法；

r_s ——充电电路的电阻，欧； U ——电源电压，伏。

由圖 5 及公式(1)(2)可看出：电容器的充电电流在电压加上后瞬時間变为最大值；然后随时间按自然对数降落，最后趋近于“零”。电容器兩端的电压則是以漸近線的形态逐步升高，而接近于电源电压。

实际情况往往是这样：充电电路內除了有純电容与純电阻以外，还有电感存在。这对电容器的充电情况將如圖 6 与圖 7 所示。

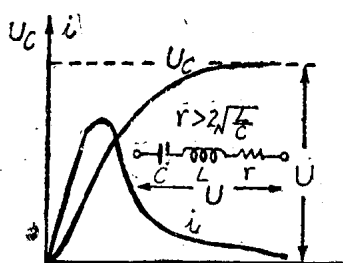


圖 6 电容器在有电感的直流电路中
充电的情况 ($r > 2\sqrt{\frac{L}{C}}$)

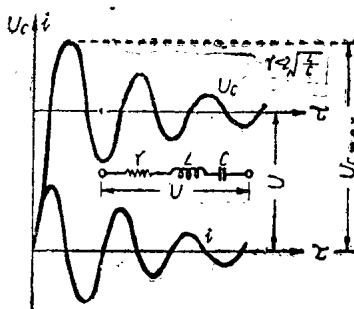


圖 7 电容器在有电感的直流电路中
充电的情况 ($r < 2\sqrt{\frac{L}{C}}$)

在有电感的直流电路中，电容器在充电时，其充电电流由三部份組成（圖 8）：这就是正常性充电电流（位移电流）、漏电流与非正常性充电电流（吸收电流）。第一种电流是由于

介質在电場作用下产生正常極化（即原子位移）而引起的。而漏电流则是由于介質內的离子与电子在电場作用下生成离子电导与电子电导所造成的。最后一种电流（吸收电流）通常是由于介質層中部份电荷位移較慢而引起的。

电容器的放电也是根据無电感与有电感分成兩种不同的情况。它們的放电过程可用圖9、圖10来表示。

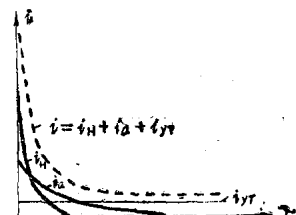


圖 8 實際電容器充電時的三種
電流成份
 i_H —正常性充電電流；
 i_A —吸收電流；
 i_{YR} —漏電流。

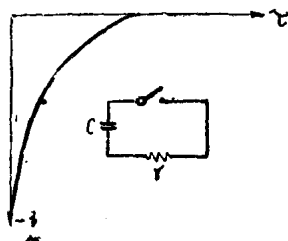


圖 9 電容器在無電感電路中的放電過程

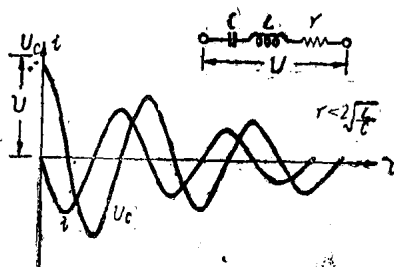


圖 10 電容器在有電感電路中的
放電過程 ($r < 2\sqrt{\frac{L}{C}}$)

圖9中最大电流（瞬时值）之数值是决定于放电电路电阻值的大小（包括导电極、接触端以及引出線的全部电阻）。我們常利用这个原理，通过充电电容器对小电阻的放电，来得到我們所需要的瞬时值巨大的强电流。

由圖10我們可看出，当电容器在有电感的电路中放电时，其电流与电压是呈週期性的衰减振盪。

电容器充放电的速率是决定于电容器的時間常数之大小。

所謂時間常數可將其看作充（放）電電路中電阻與電容的乘積，其實質上也等於電容器充（放）電時的電壓或電流降到最初值的37%時所需的时间。該值越大，電容器完成充放電的速度也就越慢。這樣我們也就不難看出，在電路內電阻值一定的情況下，容量大的電容器要比容量小的電容器完成充放電任務來得慢。

電容器還有這樣一種特性。當施加交、直兩種電源於電容器兩端時，它對電源呈現不同的阻力：交流情況的阻力小；直流情況的阻力大，（詳細見第二節）。

總起來說，電容器本身就是中間有介質隔開的兩塊導體所組成的。它具有很多特點（如充、放電；對交直兩種不同阻力等）人們能把它運用到實際生活中去也就是利用它的這些特點。

第二節 電容器的電性能

衡量一個電容器的好壞，其最主要的依據就是電容器本身的電性能。如果電容器電性能不好，那我們就認為這個電容器是一個不好的電容器。電性能包括下列幾方面：

一、電容量 (C)

電容器常用電容量來表示其容電數值的大小。當我們把一個電容器的兩端接上一電壓 E_a （圖2）時，從前面已經知道，此時電容器的極片上就積聚了正負電荷。所謂“電容量”就是用來表征其極片上能容納電荷能力的大小。容量越大，在 E_a 不變的情況下，極片上積聚的正負電荷就越多。

電容量的單位是“法拉”（簡寫“法”）。當電容器兩極上施加的電壓為1伏特，極片上積聚的電荷為1庫侖時，那麼它的

电容量为

$$1 \text{ 法拉即: } C(\text{法拉}) = \frac{Q(\text{库伦})}{V(\text{伏特})} \quad (3)$$

由于在实际运用中很难有近于 1 法拉这么大的电容量（整个地球的电容亦不过只有 0.000709 法），所以我们又采用了“微法”与“微微法”来做电容量的单位。一般“法”用 F (或 f) 代表；“微法”用 μF (或 μf) 代表；“微微法”用 $\mu\mu F$ (或 $\mu\mu f$) 或 PF 代表。

$$1 F = 10^6 \mu F = 10^{12} \mu\mu F (PF)$$

电容器的电容量与电极片面积和(两导电体间的距离)介质的厚度与性质有关，如下式所示。

$$C \propto \frac{S \cdot \epsilon}{d}$$

S ——导电层相对重合面积；

d ——介质厚度；

ϵ ——介质常数。

由上式可以看出：电容量与导电层相对重合面积 S ，以及材料本身的介质常数 ϵ 成正比；而与介质的厚度成反比。

电容器的电容量，根据其不同的形状有不同的计算方法。我们最常用到的是下面两种计算方法：

1. 平板形电容器： $C(\text{微微法}) = 0.0884 \frac{\epsilon \cdot S}{d} \quad (4)$

ϵ ——介质常数；

S ——极板相对重合面积(公分²)；

d ——介质厚度(公分)。

2. 管形(圆筒形)电容器(见左图)

$$C(\text{微微法}) = \frac{\epsilon \cdot l_a}{4.14 \lg \frac{R}{r}} \quad (5)$$

l_a ——导电層重合長度（公分）；

\lg ——以“10”为底的对数；

R ——圆筒外半徑（公分）；

r ——圆筒內半徑（公分）；

ϵ ——介質常数。

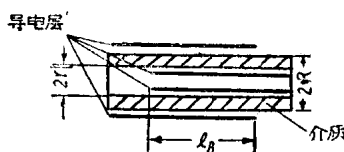


圖 11 圓筒形電容器

現在我們來解釋一下什麼叫介質常數(ϵ)。

當我們在電容器兩端接上電源“ E_a ”，如果這時該電容器的介質是“真空”，我們發現極片上將積聚電荷（設該電荷量為“ Q_0 ”）。然後把介質由真空換為除真空外的任何絕緣體，而其它任何條件都不改變，我們將發現極片上積聚的電荷量由“ Q_0 ”變成了“ Q_1 ”。介質常數在數值上也就等於這兩個電荷量的比值（即 $\epsilon = \frac{Q_1}{Q_0}$ ）。以不同的電介質代替真空，其得到的“ Q_1 ”值也不同，所以不同的電介質具有不同的介質常數。

如果我們給介質常數下定義，那就是：以某物質為介質時極片上的電荷量與以真空為介質時極片上電荷量的比值稱為該物質的“介質常數”。

介質常數本身是一個不很穩定的數值。在某些情況下，它將隨工作溫度、相對濕度、工作頻率、工作電場溫度等因素的改變而改變。這樣我們也就很易理解：電容器的電容量也將是一個不穩定的數值，它將隨 ϵ 值的改變而改變。這裡要特別說明的是溫度對電容量的影響。因為溫度改變不僅使得介質的

“ ϵ ”值改变，而且还将改变介质厚度与导电极面积。

在实际运用中，我们希望电容器所具有的电容量正是我们所要求的数值。所以对电容器的介质的选用是一个很重要的问题。

二、绝缘电阻(R_{us})

在电容器的两端接上直流电源 E_a ，我们将发现电容器呈现很大的阻力。因而回路内只有很微小的电流“ i_{yr} ”通过(图12)。这一电流称它为漏电流。如果此时把直流电源改为交流电源，将发现电容器对于交流电流的阻力小得多。这是由于电容器在交流电压作用下产生周期性的充放电而引起的。电容器的绝缘电阻也就是电容器对于直流电流的阻力作用的大小。阻力越大，则绝缘电阻值也越大；在同样直流电压值的作用下，回路内的电流(即电流)就越小。

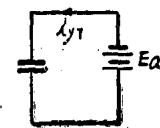


圖 12 电容器加
直流电源

$$R_{us} = \frac{E_a}{i_{yr}} \quad (6)$$

E_a ——直流电压，伏特；

i_{yr} ——漏电流，微安；

R_{us} ——绝缘电阻，兆欧。

电容器的绝缘电阻值很大，所以它是用兆欧(1兆欧= 10^6 欧姆)作单位。由公式(6)可看出，它在数值上等于电容器两端的直流电压与回路内的电流(电容器的漏电流)的比值。

电容器的绝缘电阻与外界因素也有关系。温度越高，介质内越易产生离解作用，电导的可能性就越大，因而绝缘电阻值就越小。当外界环境的相对湿度越大，绝缘电阻也将降低，这主要是因为沿电容器边缘或引出端绝缘物的表面漏泄电流增加而

促使 i_{yr} 增加的緣故。

在測量絕緣电阻值時，其數值的大小（指針表示的值）與我們施加的直流電壓值有關。如該電壓值不大，在儀表上我們可觀察到絕緣電阻隨電壓施加時間的增加而增加。反之如該電壓值很大（超過工作電壓很多），則從指針上可發現，絕緣電阻隨電壓施加時間而增加的速率減慢；在有些情況下甚至隨時間而逐步降低。

我們希望電容器的絕緣電阻越大越好。只有這樣，電容器在線路中的作用才更為顯著。

三、損耗

理想電容器在工作時的功率損耗等於零。但實際上電容器要達到這種情況是不可能的，也就是說電容器在工作時多少都要損失一些功率的。損耗的產生是由介質與電極損耗而導致的。前者主要是包括：

1. 由於介質內部的空氣電離而產生的損耗；
2. 由於介質內部離子的移動而產生的損耗；
3. 由於極片邊緣空氣的電離作用而產生的損耗；
4. 由於介質內偶極子的旋轉或有極根（如 OH ）可動部份對固定部份的定向位移而產生的損耗。

電極損耗一般則是因為極片與其接觸部份之間電阻而產生的發熱損耗，以及極片的振動而引起的。

由於電容器本身質量而引起的損耗的大小，我們用“損耗角” δ 的正切值“ $\operatorname{tg}\delta$ ”來表示。損耗角等於電路中電流電壓間的相位移角 φ 的余角，即 $\delta = 90^\circ - \varphi$ 。 $\operatorname{tg}\delta$ 越大，則電容器的損耗越大。當然，電容器工作時損耗的功率不僅僅與電容器的質量有關，而且它還與電容量及工作頻率成正比；與工作電壓的

平方成正比，如下式所示：

$$\begin{aligned} P &= U^2 \omega c \operatorname{tg} \delta \\ &= U^2 2\pi f c \operatorname{tg} \delta \end{aligned} \quad (7)$$

U ——工作电压，伏；

f ——工作频率，赫；

c ——电容量，法；

P ——损耗功率，瓦。

电容器的损耗功率往往也不是一个定值。这是因为损耗中所包括的介质损耗部份，随着不同的环境温度具有不同的数值（金属部份的损耗在温度不甚高时一般不随温度的改变而改变）。另外工作频率还将直接影响 $\operatorname{tg} \delta$ 数值。在一般情况下，频率越高， $\operatorname{tg} \delta$ 值将降低。

现在我们可以知道，实际电容器在工作时是有损耗的。而且损耗的数值与外界因素有关。这时可将实际（带损耗）的电容器用一纯电阻与一纯电容串（并）联的等效电路表示：

1. 串联等效电路

由图 13 可得出：

$$\begin{aligned} \operatorname{tg} \delta &= \frac{U_r}{U_c} = \frac{I \cdot r}{I \cdot \frac{1}{\omega c}} = \omega c_r r \\ &= 2\pi f c_r r \end{aligned} \quad (8)$$

r ——电阻，欧；

c_r ——电容，法；

f ——频率，赫。

2. 并联等效电路

由图 14 可知：

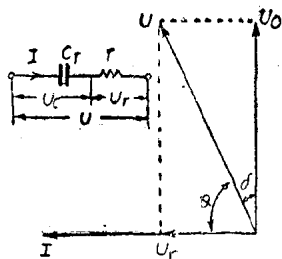


圖 13 有損耗電容器的串聯等效電路

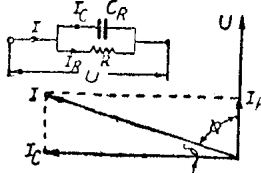


圖 14 有損耗電容器的并聯等效電路

$$\begin{aligned} \operatorname{tg} \delta &= \frac{I_R}{I_C} = \frac{R}{U \omega C_R} = \frac{1}{\omega C_R R} \\ &= \frac{1}{2\pi f \cdot C_R \cdot R} \end{aligned} \quad (9)$$

R ——电阻，欧；

C_R ——电容，法；

f ——频率，赫。

不同的电容器，其在等效电路中的 r （或 R ）值不同，故其 $\operatorname{tg} \delta$ 也不一样。我們所希望的是电容器 $\operatorname{tg} \delta$ 越小越好。这样，把它用在槽路內，不管是發热或是对槽路的衰減都將达到很小的数值。

四、电容量的溫度系数(TKC)

这里我們先来做一个实验。把电容器放在某一溫度情况下，用仪表測量后得出某一电容值。然后将該电容器放在另一种溫度情况下，發現电容量改变了。如果我們进一步再試驗下去，还会繼續發現不同介質做的电容器在上述情况下其容量改变的数值也不同。电容量的溫度系数也就是用來說明这种現象